

Федеральное государственное автономное образовательное учреждение  
высшего образования

«Московский физико-технический институт  
(национальный исследовательский университет)»  
Физтех-школа физики и исследований им. Ландау  
Кафедра проблем теоретической физики

**Направление подготовки / специальность:** 03.03.01 Прикладные математика и физика  
(бакалавриат)

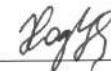
**Направленность (профиль) подготовки:** Фундаментальная и прикладная физика

## **СТРУКТУРА ВИХРЯ В ЧИСТОМ СВЕРХПРОВОДНИКЕ ВБЛИЗИ ПЛОСКОГО ДЕФЕКТА**

(бакалаврская работа)

**Студент:**

Ходаева Ульяна Евгеньевна



(подпись студента)

**Научный руководитель:**

Скворцов Михаил Андреевич,  
д-р физ.-мат. наук, доц.

(подпись научного руководителя)

**Консультант (при наличии):**

(подпись консультанта)

Москва 2020

## Аннотация

В данной работе изучается структура вихря на границе между двумя чистыми сверхпроводниками. Для описания данной системы используются уравнения Боголюбова-де-Жена. Был получен спектр состояний, локализованных в коре вихря вблизи плоского дефекта, а также собственные функции. Основным результатом работы – наличие щели в спектре, величина которой при должной силе дефекта может значительно превышать расстояние между исходными уровнями энергии. Этот эффект качественно отличается от эффектов, возникающих из-за наличия примесей, когда плотность состояний, будучи усредненной на масштабе порядка среднего расстояния между уровнями, оставалась практически постоянной.

# Содержание

Аннотация	2
Введение	4
1 Постановка задачи	6
2 Состояния в коре вихря в отсутствие дефекта	8
3 Решение уравнения Боголюбова-де-Жена	10
3.1 Численное исследование спектра . . . . .	11
3.2 Аналитическое исследование спектра . . . . .	12
4 Плотность состояний	14
5 Связь параметра $\kappa$ и кондактанса	15
6 Изменение параметра порядка при учете самосогласования	17
Заключение	22
Приложения	23
А Вычисление матричного элемента возмущения	23
В Нахождение волновых функций	24
С Дополнения к главе 6	25
С.1 Вклады от плоскостей . . . . .	25
С.2 Сведение интеграла к локальному . . . . .	27
С.3 Вклад нулевой гармоники . . . . .	28
Список литературы	31

## Введение

В 2018 году на конференции «Локализации, взаимодействия и сверхпроводимость» была представлена работа [1], в которой были исследованы свойства гранулированного грязного алюминия в сверхпроводящем состоянии в магнитном поле. Увеличение числа гранул в заданном объеме приводило к росту добротности системы.

Как известно, в сверхпроводники II рода магнитное поле проникает посредством вихрей Абрикосова. Эти вихри представляют собой нити с сердцевинкой из металла в нормальном состоянии, в которой при движении вихрей происходит диссипация энергии. Стоит заметить, что гранулированный алюминий отличается от цельного сверхпроводника тем, что между различными гранулами существует граница в виде тонкого слоя изолятора. Поэтому вихри могут образовываться не только в объеме, но и на границе между гранулами. Чтобы исследовать вопрос диссипации энергии в гранулированном сверхпроводнике, первым делом следует рассмотреть структуру вихря вблизи плоского дефекта. В эксперименте сверхпроводник грязный, но в этом пределе задача становится весьма сложной, поэтому было решено рассмотреть аналогичную задачу, но в случае чистого сверхпроводника. Также для простоты рассматривался случай двумерного сверхпроводника: для трехмерного случая качественных изменений по сравнению с двумерным не ожидается.

Задача о структуре вихря в чистом сверхпроводнике была решена Кароли, де Женном и Матриконом [4]. Было получено, что в коре вихря имеется множество состояний (их число составляет  $N \sim E_F/\Delta$ ), которые классифицируются угловым моментом квазичастицы  $\mu$ , который является полуцелым числом:  $\mu = n + 1/2$ . Низколежащие уровни оказываются эквидистантными, расположенными на расстоянии  $\omega_0 \sim \Delta/N \sim \Delta^2/E_F$  друг от друга, т. е. спектр дается выражением  $E = \mu\omega_0$ .

Обсудим влияние примесей на состояния в коре вихря. Введение в систему слабого беспорядка перемешивает состояния и спектр перестает быть эквидистантным. Приведем здесь краткий обзор результатов.

Пусть  $\omega_0$  – расстояние между исходными уровнями, а  $\tau$  – время свободного пробега. Существует несколько различных предельных случаев:

- Сверхчистый предел:  $\omega_0\tau \gg 1$ . Это условие соответствует наличию не более одной примеси в коре вихря. Этот случай был подробно рассмотрен в работе [11]. Оказалось, что в этом случае уровни сильно скоррелированы: наличие примеси приводит к смещению уровней с четными и нечетными  $n$  на величины, одинаковые по модулю, но противоположные по знаку. Модуль величины зависит от положения примеси, и при определенных ее положениях может приближаться по своей величине к  $\omega_0$ , так

что уровни могут очень сильно сближаться. Но, что важно, спектр остается периодическим, хотя и с периодом  $2\omega_0$ .

- Умеренно чистый предел:  $\Delta\tau \gg 1$ , но  $\omega_0\tau \ll 1$ . В этом случае поведение зависит не только от времени свободного пробега, но и от силы примесей. Случай сильных пуассоновских примесей изучен в работах [12], [13]. Была получена следующая зависимость плотности состояний от энергии:

$$n(E) = \frac{2n_0}{\omega_0} \sin^2 \left( \frac{\pi E}{\omega_0} \right),$$

где  $n_0$  – плотность состояний в нормальном металле. В этом случае спектр остается  $2\omega_0$ -периодичным. Если же сила примесей при фиксированном времени рассеяния стремится к нулю, то реализуется предел случайных матриц класса C [14], где средняя плотность состояний дается выражением

$$n(E) = \frac{n_0}{\omega_0} \left( 1 - \frac{\sin(2\pi E/\omega_0)}{2\pi E/\omega_0} \right). \quad (0.1)$$

- Грязный предел:  $\Delta\tau \ll 1$ . В данном случае также реализуется предел случайных матриц класса C, и средняя плотность состояний также дается выражением (0.1) [15].

Итак, в разных пределах примеси по-разному влияют на спектр, но одно остается общим для всех случаев: в спектре не возникает щели (т.е. заметно большего  $\omega_0$  промежутка энергий, для которого плотность состояний становится равной нулю). В определенном смысле, результат нашей работы состоит в том, что если примеси выстроятся в линию и образуют границу, то в спектре может возникнуть щель.

# 1 Постановка задачи

Нужно найти низколежащие возбуждения сверхпроводника, локализованные в коре двумерного вихря, находящегося на двумерной границе между двумя чистыми сверхпроводниками. Рассмотрен случай, когда плоская граница проходит через центр вихря. Тогда имеем уравнения Боголюбова-де-Жена:

$$\mathcal{H}(r)\Psi(r) = \varepsilon\Psi(r) \quad (1.1)$$

Гамильтониан Боголюбова-де-Жена – матрица  $2 \times 2$ , а  $\Psi$  – 2-компонентный вектор в пространстве Намбу:

$$\Psi = \begin{pmatrix} \Psi_{\uparrow} \\ \Psi_{\downarrow} \end{pmatrix}. \quad (1.2)$$

Гамильтониан Боголюбова-де-Жена состоит из двух частей:

$$\mathcal{H} = H_0 + V, \quad (1.3)$$

где

$$H_0 = \begin{pmatrix} H & \Delta \\ \Delta^* & -H^* \end{pmatrix}. \quad (1.4)$$

Здесь  $\Delta(r)$  – сверхпроводящий параметр порядка, а  $H$  – одночастичный гамильтониан, в присутствии магнитного поля и внешнего потенциала имеющий вид:

$$H = \frac{1}{2m} \left( \mathbf{p} - \frac{2e}{c} \mathbf{A} \right)^2 + U(\mathbf{r}) - E_F. \quad (1.5)$$

$V$  описывает плоскую границу между гранулами:

$$V = \begin{pmatrix} 1 & 0 \\ 0 & -1 \end{pmatrix} \frac{\hbar^2 \kappa}{m} \delta(x). \quad (1.6)$$

Несложно показать, что если  $\Psi$  является решением уравнения (1.1) с энергией  $E$ , то волновая функция

$$\Psi_1 = \begin{pmatrix} \Psi_{\downarrow}^* \\ -\Psi_{\uparrow}^* \end{pmatrix} = i\sigma_y \Psi^* \quad (1.7)$$

тоже является решением уравнения (1.1) с энергией  $-E$ .

Параметр порядка для вихря с одним квантом потока имеет вид  $\Delta(\mathbf{r}) = \Delta(r)e^{-i\varphi}$  (здесь  $\Delta(r)$  – действительная функция,  $\varphi$  – полярный угол). Для решений уравнения (1.1) на фоне вихря удобно сделать калибровочное преобразование:

$$\Psi(\mathbf{r}) \rightarrow e^{-i\varphi\sigma_z/2}\Psi(\mathbf{r}). \quad (1.8)$$

В результате этого преобразования гамильтониан Боголюбова-де-Жена будет иметь вид [4]:

$$\mathcal{H} = \tau_z \left[ \frac{1}{2m} \left( \mathbf{p} - \sigma_z \frac{e\mathbf{A}}{c} - \sigma_z \frac{\nabla\varphi}{2} \right)^2 - E_F + U(\mathbf{r}) \right] + \Delta(r)\sigma_x. \quad (1.9)$$

Стоит отметить, что обычно для описания границ раздела в сверхпроводниках пользуются так называемым методом туннельного гамильтониана [10]. Напомним кратко, что он из себя представляет.

В этом методе сверхпроводник с границей раздела между двумя частями рассматривается как слабосвязанная система. В нулевом приближении она описывается гамильтонианом, состоящим из двух частей, каждый из которых описывает изолированный сверхпроводник:

$$H_0 = H_1^0 + H_2^0, \quad (1.10)$$

где

$$H_1^0 = \sum_{\mathbf{p}\alpha} \xi_{\mathbf{p}} a_{\mathbf{p}\alpha}^\dagger a_{\mathbf{p}\alpha} + \frac{1}{2} \left( \Delta_{\mathbf{p}\alpha} a_{\mathbf{p}\alpha}^\dagger a_{-\mathbf{p}-\alpha}^\dagger + .c. \right). \quad (1.11)$$

В следующем приближении гамильтониан содержит член

$$H_{int} = \sum_{\mathbf{p}\mathbf{q}\alpha} T_{\mathbf{p}\mathbf{q}} a_{\mathbf{p}\alpha}^\dagger b_{\mathbf{q}\alpha}, \quad (1.12)$$

где  $a_{\mathbf{p}\alpha}^\dagger$  и  $b_{\mathbf{p}\alpha}^\dagger$  – операторы рождения электронов в первой и второй части сверхпроводника соответственно.  $H_{int}$  описывает в первом порядке теории возмущений переходы электронов через границу.

Новизна нашего подхода состоит в том, что в нулевом приближении (т. е. при  $\alpha = 0$ ) дефекта нет. То есть в некотором смысле этот подход противоположен методу туннельного гамильтониана, в котором в нулевом приближении дефект был бы настолько существенен, что две части сверхпроводника считались бы независимыми друг от друга.

## 2 Состояния в коре вихря в отсутствие дефекта

В отсутствие дефекта задача была решена Кароли, де Женом и Матриконом [2]. В этой работе спектр локализованных состояний при энергиях  $\varepsilon \ll \Delta$  был найден в рамках квазиклассического приближения. Точное квантовое (не использующее квазиклассику) решение представлено в работе [3]. Приведем здесь необходимые для решения нашей задачи результаты.

Состояния классифицируются угловым моментом квазичастицы  $\mu$ , который является полуцелым числом. Энергия  $\mu$ -ого уровня равна

$$\varepsilon_\mu = \mu\omega_0, \quad (2.1)$$

расстояние между уровнями дается выражением

$$\omega_0 = \frac{\int_0^{+\infty} \frac{\Delta(r)}{k_F r} e^{-2K(r)} dr}{\int_0^{+\infty} e^{-2K(r)} dr} \quad (2.2)$$

где

$$K(r) = \frac{1}{\hbar v_F} \int_0^r \Delta(r') dr'. \quad (2.3)$$

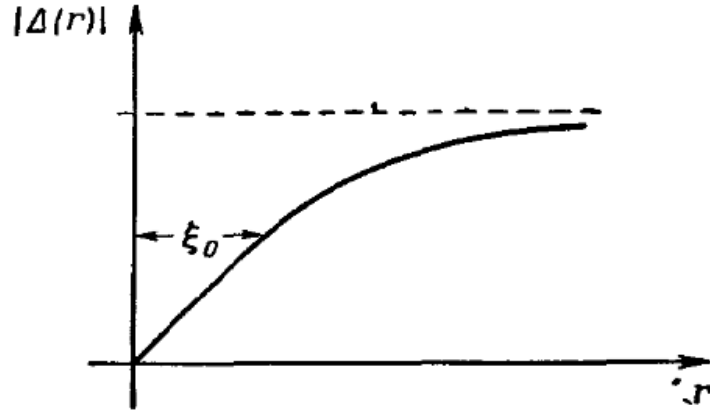


Рис. 1: Изменение амплитуды параметра порядка  $|\Delta(r)|$  вблизи вихревой нити в чистом сверхпроводнике второго рода. Источник изображения – [4].

Амплитуда  $|\Delta(r)|$  равна нулю при  $r = 0$ , при удалении от нуля она растет (при малых  $r$  рост линейный) и достигает на бесконечности вытекающей из теории БКШ величины  $\Delta_\infty$  (см. рис. 1). Характерное расстояние, на котором происходит заметное по сравнению с  $\Delta_\infty$  изменение  $\Delta(r)$  составляет  $\sim \xi_0$  [4].

Межуровневое расстояние по порядку величины равно  $\omega_0 \simeq \Delta^2/E_F$ , т.е. всего число локализованных состояний можно оценить как  $N \simeq E_F/\Delta$ .

Волновая функция состояния с угловым моментом  $\mu$  имеет вид

$$\Psi_\mu(\mathbf{r}) = Ae^{-K(r)}e^{i\mu\varphi} \begin{pmatrix} J_{\mu-1/2}(k_F r) \\ J_{\mu+1/2}(k_F r) \end{pmatrix}, \quad (2.4)$$

где нормировочный коэффициент равен

$$A^2 = \left[ \frac{4}{k_F} \int_0^{+\infty} e^{-2K(r)} dr \right]^{-1} \sim \frac{k_F}{\xi}. \quad (2.5)$$

### 3 Решение уравнения Боголюбова-де-Жена

Будем решать напрямую уравнение (1.1). Для этого перейдем в базис из собственных состояний для задачи без дефекта (2.4). Таким образом, сперва надо найти матричный элемент  $V_{\mu\nu}$ . Выражение для него имеет вид

$$V_{\mu\nu} = \langle \mu | \hat{V} | \nu \rangle = \alpha_0 \iint d^2r \delta(x) A^2 e^{-2K(r)} e^{i(\nu-\mu)\varphi} \left[ J_{\mu-\frac{1}{2}}(k_F r) J_{\nu-\frac{1}{2}}(k_F r) - J_{\mu+\frac{1}{2}}(k_F r) J_{\nu+\frac{1}{2}}(k_F r) \right] = \quad (3.1)$$

$$= 2\alpha_0 \int_0^{+\infty} dy A^2 e^{-2K(y)} \cos \left[ (\nu - \mu) \frac{\pi}{2} \right] \left[ J_{\mu-\frac{1}{2}}(k_F y) J_{\nu-\frac{1}{2}}(k_F y) - J_{\mu+\frac{1}{2}}(k_F y) J_{\nu+\frac{1}{2}}(k_F y) \right] \quad (3.2)$$

Отсюда сразу видно, что  $V_{\mu\nu} = 0$  для нечетных  $|\mu - \nu|$ . Далее, после несложных преобразований (см. приложение A) получаем, что

$$V_{\mu\nu} = \frac{2\alpha\omega_0}{\pi(\mu + \nu)} [(\mu - \nu + 1) \bmod 2], \quad (3.3)$$

где для удобства введена безразмерная величина

$$\alpha = \frac{2\hbar^2 \varkappa}{m\xi\omega_0}. \quad (3.4)$$

Далее удобнее измерять энергию в единицах  $\omega_0$  – расстояний между исходными уровнями. Также обозначим  $\mu = i + 1/2$ . Тогда получим гамильтониан ( $i, j$  – целые числа)

$$H_{ij} = (i + 1/2)\delta_{ij} + \frac{2\alpha}{\pi} \frac{1}{i + j + 1} [(i - j + 1) \bmod 2] \quad (3.5)$$

Достаточно простой вид матрицы (она представляет собой сумму двух слагаемых: одно диагональное, второе зависит только от суммы индексов) позволяет предположить, что задачу можно решить аналитически.

### 3.1 Численное исследование спектра

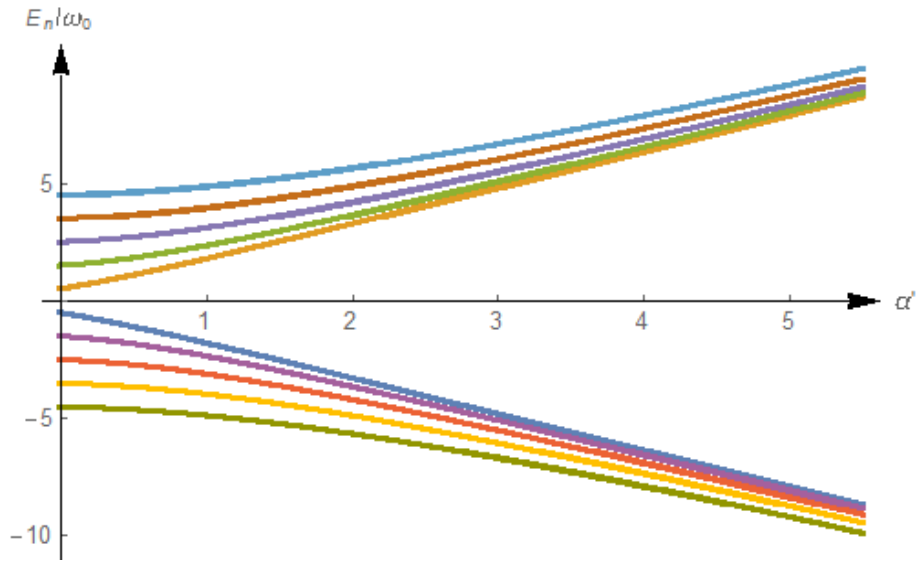


Рис. 2: Зависимость энергий  $E_n$  первых пяти положительных и отрицательных уровней энергии от величины  $\alpha'$ . Разные уровни обозначены точками разных цветов.  $E_n$  измеряется в  $\omega_0$  — расстояниях между исходными уровнями энергии.

Исследуем спектр гамильтониана (3.5) численно: найдем спектр соответствующей матрицы в Wolfram Mathematica. Для удобства временно ведем величину  $\alpha' = 2\alpha/\pi$ . Рассмотрим конечное число уровней:  $i, j \in [-50; 50]$ . На рис. 3.12 изображен спектр для  $\alpha' = 5$ , а на рис. 2 — зависимость ближайших к нулю энергетических уровней от величины  $\alpha'$ . Как видно из приведенных выше графиков, в спектре действительно есть щель, причем ее величина становится порядка нескольких расстояний между исходными уровнями уже при  $\alpha' \sim 1$ .

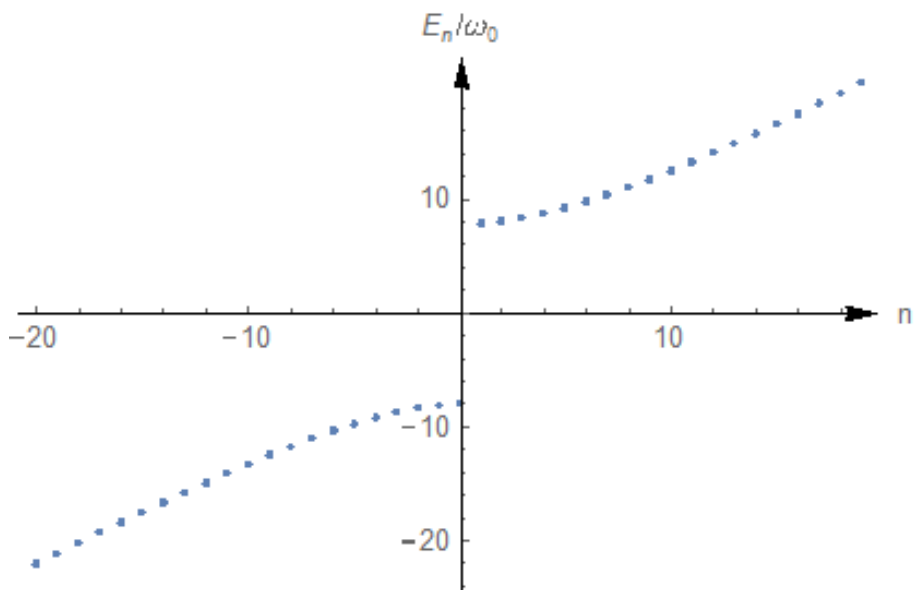


Рис. 3: Уровни энергии в случае  $\alpha' = 50$ . Энергия измеряется в единицах  $\omega_0$ ,  $n$  — номер уровня. Изображены первые 20 положительных и отрицательных уровней энергии.

### 3.2 Аналитическое исследование спектра

Оказывается, что спектр гамильтониана (3.5) может быть найден точно. Для этого сделаем преобразование Фурье:

$$H(x, y) = \sum_{mn} H_{mn} e^{ixm - iyn}. \quad (3.6)$$

Т.к.  $m, n$  – целые числа, на волновые функции в импульсном представлении накладывается условие  $2\pi$ -периодичности:  $\psi(-\pi) = \psi(\pi)$ .

Найдем  $V(x, y)$ :

$$V(x, y) = \frac{2\alpha}{\pi} \sum_{mn} \frac{e^{ixm - iyn}}{m + n + 1} [(m - n + 1) \bmod 2] = \frac{2\alpha}{\pi} \sum_{ms} \frac{e^{ixm - iy(m+2s)}}{2m + 2s + 1} = \alpha' \sum_m e^{i(x+y)m} \sum_t \frac{e^{-2iyt}}{2t + 1}. \quad (3.7)$$

Вычислив суммы, получаем

$$V(x, y) = i\alpha e^{-ix} \text{sign}(\sin x) 2\pi \delta(x + y). \quad (3.8)$$

Итак, получен гамильтониан в импульсном представлении:

$$H(x, y) = (-i\partial_x + 1/2) 2\pi \delta(x - y) + i\alpha e^{-ix} \text{sign}(\sin x) 2\pi \delta(x + y). \quad (3.9)$$

Уравнение Шредингера:

$$(-i\partial_x + 1/2)\psi(x) + i\alpha e^{-ix} \text{sign}(\sin x) \psi(-x) = E\psi(x). \quad (3.10)$$

Волновую функцию ищем в виде:

$$\psi(x) = \begin{cases} C_1 e^{ik_1 x} + C_2 e^{ik_2 x}, & 0 < x < \pi \\ C_3 e^{is_1 x} + C_4 e^{is_2 x}, & -\pi < x < 0 \end{cases} \quad (3.11)$$

Решая уравнение Шредингера, а также учитывая то, что  $\psi(x)$  должна быть непрерывна в  $x = 0$  и условие  $\psi(-\pi) = \psi(\pi)$ , получаем (подробные вычисления см. в приложении В) следующие результаты:

1. Спектр локализованных состояний параметризуется волновым числом  $\kappa$ :

$$E^2 = \kappa^2 + \alpha^2 \quad (3.12)$$

Значения  $\kappa$  определяются из условия

$$\kappa + \alpha \tan \kappa \pi = 0 \quad (3.13)$$

Отметим, что при  $\alpha \rightarrow 0$  получаем, что  $\kappa \rightarrow n + 1/2$ , что воспроизводит спектр

локализованных состояний в коре вихря в отсутствие плоского дефекта.

2. Волновая функция состояния с энергией  $E$  имеет вид

$$\psi(x) = \begin{cases} e^{-ix/2}[C_1 e^{i\kappa x} + C_2 e^{-i\kappa x}], & 0 < x < \pi \\ e^{-ix/2}[C_3 e^{i\kappa x} + C_4 e^{-i\kappa x}], & -\pi < x < 0 \end{cases}, \quad (3.14)$$

где коэффициенты

$$|C_1|^2 = \frac{\kappa + E}{2(E + \alpha/\pi E)}, \quad C_2 = \frac{i\alpha(\kappa + i\alpha)}{E(\kappa + E)} C_1, \quad C_3 = \frac{\kappa + i\alpha}{E} C_1, \quad C_4 = -\frac{i\alpha}{\kappa + E} C_1 \quad (3.15)$$

Заметим, что при  $\alpha \rightarrow 0$ , волновые функции принимают вид  $\psi(x) = e^{inx}$ , что в исходном представлении соответствует чистым состояниям с  $\mu = n + 1/2$ .

## 4 Плотность состояний

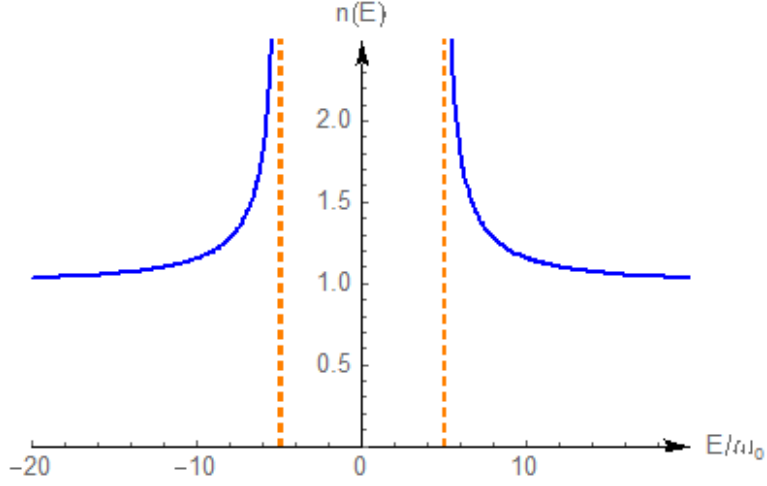


Рис. 4: Зависимость плотности состояний  $n(E)$  от энергии  $E$  состояний, локализованных в коре вихря, для  $\alpha = 5$ .

По определению, плотность локализованных в коре вихря состояний равна

$$n(E) = \sum_{\kappa} \delta(E - E_{\kappa}). \quad (4.1)$$

Пусть  $\alpha \gg 1$  (следовательно, в этом случае верно и  $E \gg 1$ ). Для них рассмотрим сглаженную плотность состояний: найдем количество состояний на интервале энергий  $\Delta E \ll E$ , но при этом  $\Delta E \gg 1$ . Тогда от суммирования по  $\kappa$  можно перейти к интегрированию. Также, как видно из (3.13), для  $\kappa \gg 1$  получается, что  $\kappa \simeq n + 1/2$ , поэтому  $\kappa$  можно считать в этом пределе эквидистантными. Тогда

$$n(E) = \int d\kappa \delta(E - \sqrt{E^2 + \alpha^2}) = \frac{E}{\sqrt{E^2 - \alpha^2}}. \quad (4.2)$$

Обобщая на отрицательные значения энергии, получаем

$$n(E) = \frac{|E|}{\sqrt{E^2 - \alpha^2}}. \quad (4.3)$$

Таким образом, плотность состояний становится постоянной величиной на больших энергиях и стремится к бесконечности при  $E \rightarrow \alpha$  (см. рис. 4). Такое поведение аналогично зависимости плотности состояний элементарных возбуждений в сверхпроводнике [7] (роль параметра порядка  $\Delta$  в нашем случае играет параметр  $\alpha$ ).

## 5 Связь параметра $\kappa$ и кондактанса

Для понимания, что представляет из себя параметр  $\kappa$ , стоит связать его величину с каким-либо измеряемым параметром образца, например, кондактансом.

Для простоты рассмотрим плоскую длинную полосу ширины  $L$ . Пусть ось  $x$  направлена вдоль полосы, а ось  $y$  – поперек. Стенка перепендикулярна полоске, ее потенциал  $U(x) = \hbar^2 \kappa / m \delta(x)$ . Тогда движение вдоль оси  $y$  квантуется. Пусть электрон движется с импульсом  $p_x$ . Тогда для  $n$ -ого канала энергия равна

$$E = \frac{\hbar^2 k_x^2}{2m} + \frac{\hbar^2 \pi^2 n^2}{2mL^2}. \quad (5.1)$$

Согласно формуле Ландауэра [8], кондактанс полоски равен

$$G = G_Q \sum_n T_n, \quad (5.2)$$

где  $T_n$  – коэффициент прохождения барьера для  $n$ -ого канала, сумма берется по всем открытым каналам,  $G_Q = e^2 / \pi \hbar$  – квант кондактанса.

Условие того, что  $n$ -й канал открыт ( $E_F$  – энергия Ферми):

$$\frac{\hbar^2 \pi^2 n^2}{2mL^2} < E_F = \frac{\hbar^2 k_F^2}{2m}. \quad (5.3)$$

Таким образом, число открытых каналов равно  $N = [k_F L / \pi]$ .

Коэффициент прохождения через барьер равен

$$T = \frac{k_x^2}{\kappa^2 + k_x^2}. \quad (5.4)$$

Выражая  $k_x$  с помощью (5.1), подставляем в (5.2) и получаем

$$G = G_Q \sum_{n=0}^{[k_F L / \pi]} \frac{k_F^2 - (\pi n / L)^2}{\kappa^2 + k_F^2 - (\pi n / L)^2}. \quad (5.5)$$

Если  $k_F L \gg 1$ , то сумму можно заменить на интеграл:

$$G = G_Q \int_0^{k_F L / \pi} dx \frac{k_F^2 - (\pi x / L)^2}{\kappa^2 + k_F^2 - (\pi x / L)^2} = G_Q \frac{k_F L}{\pi} - G_Q \int_0^{k_F L / \pi} dx \frac{\kappa^2}{\kappa^2 + k_F^2 - (\pi x / L)^2} \quad (5.6)$$

Первое слагаемое – баллистический кондактанс в отсутствие стенки, обозначим его  $G_0 = N G_Q$ . Второе слагаемое – поправка из-за наличия барьера, обозначим ее  $\delta G$ . Тогда,

сделав замену  $y = \pi x/L$ , получаем

$$\frac{\delta G}{G_0} = -\frac{\varkappa^2}{k_F} \int_0^{k_F} dy \frac{1}{\varkappa^2 + k_F^2 - y^2} = -\frac{\varkappa^2}{2k_F \sqrt{\varkappa^2 + k_F^2}} \ln \frac{\sqrt{\varkappa^2 + k_F^2} + k_F}{\sqrt{\varkappa^2 + k_F^2} - k_F} \quad (5.7)$$

При обсуждении вихря можно положить  $L \sim \xi$ . Также, нагляднее выразить  $\kappa$  через  $\alpha$  с помощью (3.4), т. к. в (3.12) фигурирует именно эта величина, и щель в спектре возбуждений становится больше расстояния между исходными уровнями  $\omega_0 \sim \Delta^2/E_F$  при  $\alpha > 1$ . Также напомним, что  $\xi \sim \hbar p_F/\pi m \Delta$ .

Подставляя все это в (5.7), получаем отношение поправки к кондактансу из-за наличия дефекта к его значению в отсутствие барьера:

$$\frac{\delta G}{G_0} = -\frac{\Delta}{4\pi^2 E_F} \frac{\alpha^2}{\sqrt{\alpha^2 + (2\pi^2 E_F/\Delta)^2}} \ln \frac{\sqrt{\alpha^2 + (2\pi^2 E_F/\Delta)^2} + 2\pi^2 E_F/\Delta}{\sqrt{\alpha^2 + (2\pi^2 E_F/\Delta)^2} - 2\pi^2 E_F/\Delta} \quad (5.8)$$

Если  $\alpha < E_F/\Delta$ , то (5.8) можно разложить по малому  $\alpha$ , и тогда получаем

$$\frac{\delta G}{G_0} \sim \left( \frac{\Delta \alpha}{E_F} \right)^2 \ln \frac{\Delta \alpha}{E_F} \ll 1. \quad (5.9)$$

Таким образом, даже дефект, дающий малую поправку к баллистической проводимости, способен создать значительную (порядка нескольких расстояний между исходными уровнями) щель в спектре локализованных состояний в коре вихря.

## 6 Изменение параметра порядка при учете самосогласования

Когда мы решали уравнения Боголюбова-де-Жена, параметр порядка  $\Delta$  считался таким же, каким бы он был в отсутствие дефекта. Но на самом деле наличие дефекта изменяет параметр порядка: в частности, теряется аксиальная симметрия. В связи с этим возникает необходимость рассмотреть влияние изменения параметра порядка на спектр, а именно на энергию ближайшего к щели уровня энергии. Если поправка окажется много меньше, чем энергия этого уровня, это будет означать, что этот эффект практически не влияет на наличие щели в спектре локализованных состояний.

Итак, из условия самосогласования [4] следует, что величина параметра порядка связана с собственными функциями  $(u_n, v_n)^T$  уравнения Боголюбова-де-Жена как

$$\Delta(\mathbf{r}) = g \sum_n u_n(\mathbf{r}) v_n^*(\mathbf{r}) (1 - 2f_n), \quad (6.1)$$

где  $g$  – потенциал взаимодействия электронов из гамильтониана БКШ:

$$H_{int} = g/2 \int d\mathbf{r} \psi_\alpha^\dagger(\mathbf{r}) \psi_\beta^\dagger(\mathbf{r}) \psi_\alpha(\mathbf{r}) \psi_\beta(\mathbf{r}), \quad (6.2)$$

где  $f_n$  – числа заполнения уровней энергии.

Обозначим  $\psi_\kappa$  состояние (3.14) в вихре вблизи дефекта с энергией  $E = \sqrt{\kappa^2 + \alpha^2}$ ,  $\phi_\mu$  – чистое состояние 2.4 с угловым моментом  $\mu$ . Тогда при нулевой температуре вклад локализованных состояний в параметр порядка равен

$$\Delta(\mathbf{r}) = gA^2 e^{-2K(r)} \sum_\kappa \sum_{\mu, \nu} \langle \phi_\mu | \psi_\kappa \rangle \langle \phi_\nu | \psi_\kappa \rangle^* J_{\mu-1/2}(k_F r) J_{\nu+1/2}(k_F r) e^{i(\mu-\nu)\varphi}. \quad (6.3)$$

Перекрытие с чистым состоянием  $\langle \phi_\mu | \psi_\kappa \rangle = \int \frac{dx}{2\pi} \psi_\kappa(x) e^{-imx}$ , где  $\mu = m + 1/2$ . Тогда, обозначая  $\nu = n + 1/2$ , получаем

$$\Delta(\mathbf{r}) = gA^2 e^{-2K(r)} \sum_\kappa \sum_{m, n} \int \frac{dx dy}{(2\pi)^2} \psi_\kappa(x) \psi_\kappa^*(y) e^{-imx} e^{iny} J_m(k_F r) J_{n+1}(k_F r) e^{i(m-n)\varphi}. \quad (6.4)$$

Упростим выражение, воспользовавшись формулой Якоби-Ангера

$$\sum_n J_n(z) e^{in\varphi} = e^{iz \sin \varphi}. \quad (6.5)$$

Получим

$$\Delta(\mathbf{r}) = gA^2 e^{-2K(r)} \sum_\kappa \int \frac{dx dy}{(2\pi)^2} \psi_\kappa(x) \psi_\kappa^*(y) e^{i(\varphi-y)} e^{ik_F r [\sin(\varphi-x) - \sin(\varphi-y)]}. \quad (6.6)$$

Вернемся к нахождению изменения энергии. Рассмотрим изменение параметра порядка с точки зрения теории возмущений. Обозначим  $\Psi_0$  ближайшее к щели собственное состояние. Его разложение по собственным состояниям в вихре без дефекта

$$\Psi_0 = \sum_{\mu} \langle \psi_{\mu} | \psi_0 \rangle \Psi_{\mu}. \quad (6.7)$$

Обозначим  $\Delta_0(\mathbf{r})$  параметр порядка в отсутствие стенки. Тогда его изменение  $\delta\Delta = \Delta - \Delta_0$  даст добавку к гамильтониану Боголюбова-де-Жена, и в первом порядке теории возмущений изменение энергии будет равно

$$\Delta E = \overline{\Psi_0} \begin{pmatrix} 0 & \delta\Delta \\ \delta\Delta^* & 0 \end{pmatrix} \Psi_0 = \sum_{\mu, \nu} \langle \phi_{\nu} | \psi_0 \rangle^* \langle \phi_{\mu} | \psi_0 \rangle \overline{\Psi_{\nu}} \begin{pmatrix} 0 & \delta\Delta \\ \delta\Delta^* & 0 \end{pmatrix} \Psi_{\mu} \quad (6.8)$$

Обозначим

$$E(\alpha) = A^2 \int d\mathbf{r} \sum_{\mu, \nu} \langle \phi_{\nu} | \psi_0 \rangle^* \langle \phi_{\mu} | \psi_0 \rangle e^{-2K(r)} \Delta(\mathbf{r}) J_{\mu+1/2}(k_F r) J_{\nu-1/2}(k_F r) e^{i(\mu-\nu)\varphi}. \quad (6.9)$$

Тогда

$$\Delta E = 2 \operatorname{Re}[E(\alpha) - E(0)]. \quad (6.10)$$

В 6.9 просуммируем по  $\mu$  и  $\nu$  аналогично тому, как это было сделано для параметра порядка. Получим

$$E(\alpha) = A^2 \int d\mathbf{r} e^{-2K(r)} \Delta(\mathbf{r}) \int \frac{dz dt}{(2\pi)^2} \psi_0^*(z) \psi_0(t) e^{i(t-\varphi)} e^{ik_F r [\sin(z-\varphi) - \sin(t-\varphi)]}. \quad (6.11)$$

Подставляя 6.6, получаем

$$E(\alpha) = gA^4 \int dr r e^{-4K(r)} \sum_{\kappa} \int \frac{dx dy dz dt}{(2\pi)^4} \psi_{\kappa}(x) \psi_{\kappa}^*(y) \psi_0^*(z) \psi_0(t) e^{i(t-y)} \int_0^{2\pi} d\varphi e^{ik_F r Z \sin(\varphi+\varphi_0)}, \quad (6.12)$$

где

$$Z \sin(\varphi+\varphi_0) = \operatorname{Im}[e^{i(\varphi-x)} - e^{i(\varphi-y)} + e^{i(\varphi-t)} - e^{i(\varphi-z)}] = \sin(\varphi-x) - \sin(\varphi-y) + \sin(\varphi-t) - \sin(\varphi-z). \quad (6.13)$$

Т. е.

$$Z = |e^{-ix} - e^{-iy} + e^{-it} - e^{iz}|. \quad (6.14)$$

Интегрируя по углу, получаем

$$E(\alpha) = gA^4 \int dr r e^{-4K(r)} \sum_{\kappa} \int \frac{dx dy dz dt}{(2\pi)^3} \psi_{\kappa}(x) \psi_{\kappa}^*(y) \psi_0^*(z) \psi_0(t) e^{i(t-y)} J_0(k_F r Z). \quad (6.15)$$

Т. к. функции Бесселя осциллируют при больших значениях аргумента, то интеграл по  $r$  будет экспоненциально мал при  $k_F \xi Z \gg 1$ . Поэтому интеграл набирается на таких

значениях координат, что  $Z \ll \frac{1}{k_F \xi}$ , т. е. вблизи плоскостей, на которых  $Z = 0$ . Таких плоскости 3, и они дают следующие вклады в  $E(\alpha)$  (подробные вычисления см. в приложении C.1):

1.  $\mathbf{x} = \mathbf{y}, \mathbf{t} = \mathbf{z}$

$$E_1(\alpha) = \frac{gA^4}{k_F^2} \sum_{k>0} \int \frac{dx dz}{(2\pi)^2} \frac{|\psi_0(z)|^2 |\psi_k(x)|^2 e^{i(z-x)}}{|\sin(x-z)|} \quad (6.16)$$

2.  $\mathbf{x} = \mathbf{z}, \mathbf{t} = \mathbf{y}$

$$E_2(\alpha) = \frac{gA^4}{k_F^2} \sum_{k>0} \int \frac{dx dy}{(2\pi)^2} \psi_0^*(x) \psi_0(y) \psi_k(x) \psi_k^*(y) \frac{1}{|\sin(x-y)|} \quad (6.17)$$

3.  $|\mathbf{x} - \mathbf{t}| = \pi, |\mathbf{y} - \mathbf{z}| = \pi$

$$E_3(\alpha) = -\frac{gA^4}{k_F^2} \sum_{k>0} \int \frac{dx dy}{(2\pi)^2} \psi_0^*(\pi+y) \psi_0(\pi+x) \psi_k(x) \psi_k^*(y) e^{i(x-y)} \frac{1}{|\sin(x-y)|} \quad (6.18)$$

Заметим, что все эти интегралы расходятся при  $\sin(x-y) = 0$ , т. е. при  $x = y$  и  $|x-y| = \pi$ . Эта расходимость возникает, потому что предположения, в которых они были получены, вблизи этих прямых перестают выполняться. Обрезав, интеграл можно свести к локальному (см. приложение C.2). Тогда получаем, что вклады от плоскостей равны

1.  $\mathbf{x} = \mathbf{y}, \mathbf{t} = \mathbf{z}$

$$E_1(\alpha) = \frac{2gA^4}{k_F^2} \ln k_F \xi \sum_{k>0} \int \frac{dx}{(2\pi)^2} |\psi_0(x)|^2 |\psi_k(x)|^2 - \frac{gA^4}{k_F^2} \ln k_F \xi \sum_{k>0} \int \frac{dx}{(2\pi)^2} |\psi_0(x+\pi)|^2 |\psi_k(x)|^2 \quad (6.19)$$

2.  $\mathbf{x} = \mathbf{z}, \mathbf{t} = \mathbf{y}$

$$E_2(\alpha) = \frac{2gA^4}{k_F^2} \ln k_F \xi \sum_{k>0} \int \frac{dx}{(2\pi)^2} |\psi_0(x)|^2 |\psi_k(x)|^2 + \frac{gA^4}{k_F^2} \ln k_F \xi \sum_{k>0} \int \frac{dx}{(2\pi)^2} \psi_0^*(x) \psi_0(x+\pi) \psi_k(x) \psi_k^*(x+\pi) \quad (6.20)$$

3.  $|\mathbf{x} - \mathbf{t}| = \pi, |\mathbf{y} - \mathbf{z}| = \pi$

$$E_3(\alpha) = -\frac{2gA^4}{k_F^2} \ln k_F \xi \sum_{k>0} \int \frac{dx}{(2\pi)^2} |\psi_0(x+\pi)|^2 |\psi_k(x)|^2 + \frac{gA^4}{k_F^2} \ln k_F \xi \sum_{k>0} \int \frac{dx}{(2\pi)^2} \psi_0^*(x) \psi_0(x+\pi) \psi_k(x) \psi_k^*(x+\pi) \quad (6.21)$$

Проинтегрируем по  $x$ . Выполнив тривиальные преобразования, легко убедиться, что

$$|\psi(x)|^2 = |\psi(x+\pi)|^2 = -\psi^*(x) \psi(x+\pi) = \frac{\pi}{\alpha + \pi E^2} [E^2 + \kappa \alpha \sin(2\kappa|x|) - \alpha^2 \cos(2\kappa x)]. \quad (6.22)$$

Таким образом, все интегралы по  $x$  в (6.19), (6.20) и (6.21) равны между собой. Тогда, суммируя все вклады в  $E(\alpha)$  всех трех плоскостей, получаем

$$E(\alpha) = \frac{3gA^4}{4\pi^2 k_F^2} \ln k_F \xi \sum_{\kappa>0} \int_{-\pi}^{\pi} dx |\psi_0(x)|^2 |\psi_k(x)|^2. \quad (6.23)$$

Используя условие 3.13, проинтегрируем по  $x$ :

$$\int_{-\pi}^{\pi} dx |\psi_0(x)|^2 |\psi_k(x)|^2 = \frac{2\pi^2}{(\alpha + \pi E^2)(\alpha + \pi E_0^2)} [\pi\kappa^2\kappa_0^2 + \alpha(1 + \pi\alpha)(\kappa^2 + \kappa_0^2 + \alpha^2)]. \quad (6.24)$$

Предел при  $\alpha \rightarrow 0$ :

$$\int_{-\pi}^{\pi} dx |\psi_0(x)|^2 |\psi_k(x)|^2 = 2\pi. \quad (6.25)$$

Выделим в интеграле для произвольного  $\alpha$  часть, не зависящую от  $\alpha$ :

$$\int_{-\pi}^{\pi} dx |\psi_0(x)|^2 |\psi_k(x)|^2 = 2\pi - \frac{2\pi\alpha^2(1 + \pi\alpha)}{[\alpha(1 + \pi\alpha) + \pi\kappa^2][\alpha(1 + \pi\alpha) + \pi\kappa_0^2]}. \quad (6.26)$$

Тогда, согласно (6.10), поправка к уровню энергии равна

$$\Delta E = -\frac{3gA^4}{\pi k_F^2} \ln k_F \xi \sum_{\kappa>0} \frac{\alpha^2(1 + \pi\alpha)}{[\alpha(1 + \pi\alpha) + \pi\kappa^2][\alpha(1 + \pi\alpha) + \pi\kappa_0^2]}. \quad (6.27)$$

Оценим сумму по  $\kappa$ . Рассмотрим случай  $\alpha \gg 1$  (тогда щель в спектре будет значительно больше расстояния между уровнями). Тогда, как уже упоминалось в главе про плотность состояний,  $\kappa$  можно считать эквидистантными и перейти от суммирования к интегрированию. Также считаем  $\kappa_0 \simeq 1/2$ . Находим сумму по  $\kappa$ :

$$\sum_{\kappa>0} \frac{1}{\alpha(1 + \pi\alpha) + \pi\kappa^2} \simeq \sum_{\kappa>0} \frac{1}{\pi(\alpha^2 + \kappa^2)} \simeq \int_0^{\infty} d\kappa \frac{1}{\pi(\alpha^2 + \kappa^2)} = \frac{1}{2\alpha}. \quad (6.28)$$

Итак, в пределе  $\alpha \gg 1$  получаем

$$\Delta E \simeq -\frac{3gA^4}{2\pi k_F^2} \ln k_F \xi. \quad (6.29)$$

Найдем отношение поправки к энергии ближайшего к щели уровня к ее значению  $E_0 \sim \omega_0\alpha$ . Учитывая, что  $A^2 \sim k_F/\xi$ , где  $\xi \simeq \hbar v_F/\pi\Delta$ , а  $g$  выражается через дебаевскую частоту  $\omega_D$ , параметр порядка при нулевой температуре  $\Delta$  и плотность состояний  $\nu_0$ , которая в случае двумерного электронного газа имеет равна  $m/2\pi\hbar^2$ , как  $g\nu_0 = [\ln(\omega_D/\Delta)]^{-1}$ , получаем

$$\frac{\Delta E}{E_0} \sim -\frac{1}{\alpha} \frac{\ln(E_F/\Delta)}{\ln(\omega_D/\Delta)} \quad (6.30)$$

Таким образом, при достаточно больших значениях  $\alpha$ , поправка к энергии ближайшего к щели состояния окажется значительно меньше самой энергии, что означает, что искажение параметра порядка из-за наличия дефекта качественно не изменит ситуацию, и в спектре, даже с учетом этого эффекта, будет щель.

Стоит заметить, что вклад в поправку к энергии дают только ненулевые гармоники дельты: из-за самосогласования ее нулевая гармоника (т.е. среднее по углам значение) тоже могло измениться, но вклада в поправку она не дает (напомним, что мы работаем в

калибровке, в которой исходный параметр порядка  $\Delta$  является вещественной величиной, зависящей только от  $r$ ). Доказательство этого факта см. в приложении [С.3](#).

## Заключение

В данной работе был найден спектр состояний, локализованных в коре вихря вблизи плоского дефекта, а также собственные функции. Основным результатом работы - наличие щели в спектре, величина которой при должной силе дефекта может значительно превышать расстояние между исходными уровнями энергии. Этот эффект качественно отличается от эффектов, возникающих из-за наличия примесей: плотность состояний оставалась либо примерно постоянной, либо осциллировала, но не обращалась в ноль на промежутках энергий, больших, чем удвоенное расстояние между уровнями энергии. Качественно понять, почему примеси, выстроившись в линию, могут создать в спектре щель, а когда их много, но они разбросаны в металле случайным образом, – нет, пока не удалось.

Мы рассматриваем двумерный случай, но что изменится в трехмерном случае? В нём к угловому моменту  $\mu$  добавляется еще одно квантовое число  $k_z$  – импульс вдоль оси вихря. Дискретные уровни размываются в зоны со следующим законом дисперсии [3]:

$$E_\mu(k_z) - E_\mu(0) \sim \mu\omega_0 \frac{m_z}{m} \frac{k_z^2}{k_F^2}, \quad (6.31)$$

где  $m_z$  и  $m$  – эффективные массы вдоль направления вихря и в плоскости, перпендикулярной ему, соответственно. Для анизотропных сверхпроводников, таких что  $m_z/m \ll 1$ , ширина зон оказывается много меньше расстояний между уровнями, и сами уровни оказываются почти дискретными, что формально соответствует двумерному вихрю в двумерном сверхпроводнике, для которого и поставлена задача, решаемая в данной работе.

## Приложения

### А Вычисление матричного элемента возмущения

В этом приложении приведены вычисления матричного элемента  $V_{\mu\nu}$ , с помощью которых из выражения (3.2) был получен результат (3.3).

Воспользуемся соотношением 5.43 из [5]. Получим

$$J_{\mu-1/2}(z)J_{\nu-1/2}(z) - J_{\mu+1/2}(z)J_{\nu+1/2}(z) = \frac{2}{\pi} \int_0^{\pi/2} [J_{\mu+\nu-1}(2z \cos \theta) - J_{\mu+\nu+1}(2z \cos \theta)] \cos[(\mu - \nu)\theta] d\theta \quad (\text{A.1})$$

Воспользовавшись известным свойством функций Бесселя  $\frac{d}{dz} J_n(z) = \frac{1}{2} [J_{n-1}(z) - J_{n+1}(z)]$ , получаем

$$J_{\mu-1/2}(z)J_{\nu-1/2}(z) - J_{\mu+1/2}(z)J_{\nu+1/2}(z) = \frac{2}{\pi} \int_0^{\pi/2} \frac{dJ_{\mu+\nu}(2z \cos \theta)}{dz} \frac{\cos[(\mu - \nu)\theta]}{\cos \theta} d\theta \quad (\text{A.2})$$

Подставляя это в (3.2), получаем

$$V_{\mu\nu} = \alpha' \omega_0 \cos \left[ (\nu - \mu) \frac{\pi}{2} \right] \int_0^{+\infty} e^{-2K(z/k_F)} dz \int_0^{\pi/2} \frac{dJ_{\mu+\nu}(2z \cos \theta)}{dz} \frac{\cos[(\mu - \nu)\theta]}{\cos \theta} d\theta \quad (\text{A.3})$$

Т.к.  $e^{-2K(r)} \simeq 1$  при  $r \lesssim \xi$  и резко убывает на  $r \gtrsim \xi$ . Поэтому интеграл по  $z$  в выражении выше обрезается на  $z \simeq k_F \xi$ . Далее, воспользовавшись тождеством  $\frac{2n}{z} J_n(z) = J_{n+1}(z) + J_{n-1}(z)$ , получаем

$$V_{\mu\nu} = k_F \xi \omega_0 \frac{\alpha'}{\mu + \nu} \cos \left[ (\nu - \mu) \frac{\pi}{2} \right] \int_0^{\pi/2} \cos[(\mu - \nu)\theta] (J_{\mu+\nu+1}(2k_F \xi \cos \theta) + J_{\mu+\nu-1}(2k_F \xi \cos \theta)) d\theta. \quad (\text{A.4})$$

Интеграл вычисляем с помощью соотношения 6.681 из [6]. Тогда

$$V_{\mu\nu} = \pi \omega_0 k_F \xi \frac{\alpha'}{2(\mu + \nu)} \cos \left[ (\nu - \mu) \frac{\pi}{2} \right] (J_{\mu-1/2}(k_F \xi) J_{\nu+1/2}(k_F \xi) + J_{\mu+1/2}(k_F \xi) J_{\nu-1/2}(k_F \xi)). \quad (\text{A.5})$$

Воспользовавшись асимптотическим выражением для функций Бесселя при больших значениях аргумента, получаем для  $\mu, \nu \ll k_F \xi$

$$J_{\mu-1/2}(k_F \xi) J_{\nu+1/2}(k_F \xi) + J_{\mu+1/2}(k_F \xi) J_{\nu-1/2}(k_F \xi) \simeq \frac{2}{\pi k_F \xi} \cos \left[ (\mu - \nu) \frac{\pi}{2} \right]. \quad (\text{A.6})$$

Подставляя в (A.5), получаем окончательный результат (3.3).

## В Нахождение волновых функций

В этом приложении приведены подробные вычисления, с помощью которых были получены волновые функции (3.14).

Подставим в уравнение Шредингера (3.10) анзац (3.11). Получим тогда для  $x > 0$

$$(k_1 + 1/2 - E)C_1 e^{ik_1 x} + (k_2 + 1/2 - E)C_2 e^{ik_2 x} + i\alpha(C_3 e^{-i(s_1+1)x} + C_4 e^{-i(s_2+1)x}) = 0, \quad (\text{B.1})$$

а для отрицательных  $x$  –

$$(s_1 + 1/2 - E)C_3 e^{is_1 x} + (s_2 + 1/2 - E)C_4 e^{is_2 x} - i\alpha(C_1 e^{-i(k_1+1)x} + C_2 e^{-i(k_2+1)x}) = 0. \quad (\text{B.2})$$

Выбирая  $s_2 = -k_1 - 1$  и  $s_1 = -k_2 - 1$ , получаем системы уравнений на коэффициенты:

$$\begin{cases} (k_1 + 1/2 - E)C_1 + i\alpha C_4 = 0 \\ (-k_1 - 1/2 - E)C_4 - i\alpha C_1 = 0 \end{cases} \quad \begin{cases} (k_2 + 1/2 - E)C_2 + i\alpha C_3 = 0 \\ (-k_2 - 1/2 - E)C_3 - i\alpha C_2 = 0 \end{cases} \quad (\text{B.3})$$

Обе системы уравнений имеют нетривиальные решения, если  $E^2 = \kappa^2 + \alpha^2$ , где  $\kappa = k_1 + 1/2 = -(k_2 + 1/2)$ .

Условия непрерывности в нуле и  $2\pi$ -периодичности волновой функции дают

$$\begin{cases} C_1 + C_2 = C_3 + C_4 \\ C_1 e^{ik_1 \pi} + C_2 e^{ik_2 \pi} = -C_3 e^{ik_2 \pi} - C_4 e^{ik_1 \pi} \end{cases} \quad (\text{B.4})$$

Отсюда получаем условие на значения  $\kappa$ :

$$\frac{1 - e^{2\pi i \kappa}}{2} = \frac{i\kappa}{\alpha + i\kappa}. \quad (\text{B.5})$$

Условие (3.13) равносильно ему.

Решая системы уравнений (B.3), получаем коэффициенты  $C_2$ ,  $C_3$ ,  $C_4$  (см. (3.15)).

Значения коэффициента  $C_1$  получим, отнормировав волновую функцию. Условие нормировки:

$$\int_{-\pi}^{\pi} \frac{dx}{2\pi} |\psi(x)|^2 = 1. \quad (\text{B.6})$$

## С Дополнения к главе 6

### С.1 Вклады от плоскостей

Здесь и далее будем считать волновые функции медленными огибающими.

$$\mathbf{I}: \quad \mathbf{x} = \mathbf{y}, \quad \mathbf{t} = \mathbf{z}$$

Проинтегрируем по нормальным относительно этой плоскости смещениям. Сделаем замены:  $y = x + u$ ,  $t = z + v$ . Тогда

$$E_1(\alpha) = g \sum_{k>0} \int \frac{dx dz}{(2\pi)^2} \psi_0^*(z) \psi_0(z) \psi_k(x) \psi_k^*(x) I(x, z). \quad (\text{C.1})$$

Здесь  $I(x, z)$  обозначен интеграл по нормальным смещениям:

$$I = \int \frac{du dv}{2\pi} \int_0^{+\infty} r dr J_0(k_F r Z) \quad (\text{C.2})$$

где

$$Z = |e^{-ix} - e^{-i(x+u)} + e^{-i(z+v)} - e^{-iz}| \simeq |ue^{-ix} - ve^{-iz}| = \sqrt{u^2 + v^2 - 2uv \cos(x-z)} \quad (\text{C.3})$$

Перейдем к новым переменным интегрирования:  $u = (s+p)/2$ ,  $v = (s-p)/2$ . Якобиан преобразования равен  $1/2$ . Тогда аргумент функции Бесселя преобразуется как

$$Z^2 = u^2 + v^2 - 2uv \cos(x-z) = s^2 \sin^2[(x-z)/2] + p^2 \cos^2[(x-z)/2]. \quad (\text{C.4})$$

Тогда

$$I(x, z) = \int \frac{ds dp}{4\pi} \int_0^{+\infty} r dr A^4 e^{-4K(r)} J_0(k_F r \sqrt{s^2 \sin^2[(x-z)/2] + p^2 \cos^2[(x-z)/2]}). \quad (\text{C.5})$$

Сделаем еще одну замену:  $\xi = s |\sin[(x-z)/2]|$ ,  $\eta = p |\cos[(x-z)/2]|$ . Якобиан равен  $2 |\sin(x-z)|^{-1}$ . Тогда

$$\begin{aligned} I(x, z) &= \frac{1}{|\sin(x-z)|} \int \frac{d\xi d\eta}{2\pi} \int_0^{+\infty} r dr A^4 e^{-4K(r)} J_0(k_F r \sqrt{\xi^2 + \eta^2}) = \\ &= \frac{1}{|\sin(x-z)|} \int_0^{+\infty} \rho d\rho \int_0^{+\infty} r dr A^4 e^{-4K(r)} J_0(k_F r \rho) \end{aligned} \quad (\text{C.6})$$

Проинтегрируем по  $\rho$ . Т.к. интеграл расходится, применим экспоненциальную регуляризацию. Пользуясь формулой 6.623(2) из [6], получаем

$$\int_0^{+\infty} e^{-\alpha\rho} \rho J_0(k_F r \rho) d\rho = \frac{\alpha}{(\alpha^2 + (k_F r)^2)^{3/2}}. \quad (\text{C.7})$$

Теперь проинтегрируем по  $r$  (замена:  $x = k_F r / \alpha$ ):

$$\int_0^{+\infty} r dr A^4 e^{-4K(r)} \frac{\alpha}{(\alpha^2 + (k_F r)^2)^{3/2}} = \int_0^{+\infty} \frac{A^4 (\alpha x / k_F) x dx}{k_F^2 (1 + x^2)^{3/2}}. \quad (\text{C.8})$$

В пределе  $\alpha \rightarrow 0$ , получаем

$$I = \frac{A^4}{k_F^2 |\sin(x - z)|}. \quad (\text{C.9})$$

Заметим, что ответ не зависит от профиля  $\Delta(r)$ .

Окончательно, получаем вклад от плоскости I:

$$E_1(\alpha) = \frac{gA^4}{k_F^2} \sum_{k>0} \int \frac{dx dz}{(2\pi)^2} \frac{|\psi_0(z)|^2 |\psi_k(x)|^2}{|\sin(x - z)|} \quad (\text{C.10})$$

**II**:  $\mathbf{x} = \mathbf{z}$ ,  $\mathbf{t} = \mathbf{y}$

Порядок действий такой же, как и при рассмотрении плоскости I.

Проинтегрируем по нормальным направлениям:  $z = x + u$ ,  $t = y + v$ .

$$E_2(\alpha) = g \sum_{k>0} \int \frac{dx dy}{(2\pi)^2} \psi_0^*(x) \psi_0(y) \psi_k(x) \psi_k^*(y) \int \frac{du dv}{2\pi} \int_0^{+\infty} r dr A^4 e^{-4K(r)} J_0(k_F r Z), \quad (\text{C.11})$$

где

$$Z = |e^{-ix} - e^{-iy} + e^{-i(y+v)} - e^{-i(x+u)}| \simeq |ue^{-ix} - ve^{-iy}| = \sqrt{u^2 + v^2 - 2uv \cos(x - y)}. \quad (\text{C.12})$$

Как видим, получается все то же самое, с точностью до замены  $y$  на  $z$ . Итак, вклад от плоскости II равен Тогда

$$E_2(\alpha) = \frac{gA^4}{k_F^2} \sum_{k>0} \int \frac{dx dy}{(2\pi)^2} \psi_0^*(x) \psi_0(y) \psi_k(x) \psi_k^*(y) \frac{1}{|\sin(x - y)|} \quad (\text{C.13})$$

**III**:  $|\mathbf{x} - \mathbf{t}| = \pi$ ,  $|\mathbf{y} - \mathbf{z}| = \pi$

Напомним, что волновые функции  $2\pi$ -периодичны:  $\psi(x + 2\pi) = \psi(x)$ .

Проинтегрируем по нормальным смещениям:  $t = \pi + x + u$ ,  $z = \pi + y + v$ .

$$E_3(\alpha) = g \sum_{k>0} \int \frac{dx dy}{(2\pi)^2} \psi_0^*(\pi + y) \psi_0(\pi + x) \psi_k(x) \psi_k^*(y) \int \frac{du dv}{2\pi} \int_0^{+\infty} r dr A^4 e^{-4K(r)} J_0(k_F r Z), \quad (\text{C.14})$$

где

$$Z = |e^{-ix} - e^{-iy} - e^{-i(x+u)} + e^{-i(y+v)}| \simeq |ue^{-ix} - ve^{-iy}| = \sqrt{u^2 + v^2 - 2uv \cos(x-y)}. \quad (\text{C.15})$$

Снова получаем то же самое, что и при рассмотрении вкладов от плоскостей I и II. Итак, вклад от плоскости III равен

$$E_3(\alpha) = \frac{gA^4}{k_F^2} \sum_{k>0} \int \frac{dx dy}{(2\pi)^2} \psi_0^*(\pi+y) \psi_0(\pi+x) \psi_k(x) \psi_k^*(y) \frac{1}{|\sin(x-y)|}. \quad (\text{C.16})$$

## C.2 Сведение интеграла к локальному

Перепишем (C.3) через переменные  $s$  и  $p$ , введенные в разделе C.1. Заметим, что в (C.5) интеграл по  $p$  сходится, поэтому можно положить  $p = 0$ . Тогда аргумент функции Бесселя при  $p = 0$  равен

$$Z = 4 |\sin[(x-z)/2] \sin(s/4)|. \quad (\text{C.17})$$

Обозначим  $\delta = x - z$ . Интеграл по  $r$  в (C.5) не мал, если  $k_F \xi Z \leq 1$ . Таким образом, для фиксированного  $\delta$  дают вклад только  $s$ , меньшие чем  $s_0$ , где

$$\sin(s_0/4) = \frac{1}{4k_F \xi \sin \delta/2}. \quad (\text{C.18})$$

Как легко видеть, для  $\delta < \frac{1}{k_F \xi}$  важны не только малые  $s$ , и в (C.3) некорректно пренебрегать высшими порядками по  $s$ . Итак, обрезка вблизи  $|x - z| = 0$  равна  $\delta^* = \frac{1}{k_F \xi}$ .

Теперь рассмотрим окрестность  $|x - z| = \pi$ . Введем новое обозначение:  $x - z = \pi - \delta$ . В этом случае в (C.5) интеграл по  $s$  сходится, поэтому положим  $s = 0$ . Тогда аргумент функции Бесселя равен

$$Z = 4 |\sin(p/4) \sin(\delta - p/2)|. \quad (\text{C.19})$$

Разложим в ряд Тейлора для малых  $p$  и  $\delta$ :

$$Z \simeq p\delta - \frac{p^2}{2} \quad (\text{C.20})$$

Из условия  $Z \leq 1/k_F \xi$  найдем максимальное значение  $p$  при фиксированном  $\delta$ , когда интеграл по  $r$  еще не мал:

$$p_{max} \sim \frac{1}{\sqrt{k_F \xi} + \delta k_F \xi}. \quad (\text{C.21})$$

Отсюда ясно, что для  $\delta \gg \delta^* \sim \frac{1}{\sqrt{k_F \xi}}$  максимальное значение  $p_{max} \sim \frac{1}{\delta k_F \xi} \ll \delta$ , и можно пренебречь  $p^2$  по сравнению с  $p\delta$ . Но для  $\delta \ll \delta^*$  максимальное значение  $p_{max} \gg \delta$ , и высшими порядками по  $p$  пренебречь нельзя. Таким образом, обрезка вблизи  $|x - z| = \pi$  равна  $\delta^* = \frac{1}{\sqrt{k_F \xi}}$ .

Интегралы в (6.17), (6.17) и (6.18) набираются вблизи  $|x - z| = 0$  и  $|x - z| = \pi$ . Сделаем в этих интегралах замену  $z = x + t$ . Считая волновые функции медленными огибающими и пользуясь тем, что

$$\int \frac{dt}{\sin t} = \frac{1}{2} \ln \frac{1 - \cos t}{1 + \cos t}, \quad (\text{C.22})$$

получаем

$$E_1(\alpha) \simeq \frac{2gA^4}{k_F^2} \ln k_F \xi \sum_{k>0} \int \frac{dx}{(2\pi)^2} |\psi_0(x)|^2 |\psi_k(x)|^2 + \frac{gA^4}{k_F^2} \ln k_F \xi \sum_{k>0} \int \frac{dx}{(2\pi)^2} |\psi_0(x - \pi)|^2 |\psi_k(x)|^2, \quad (\text{C.23})$$

а также аналогичные выражения (6.20) и (6.21) для вкладов от других плоскостей.

Заметим, что окрестность  $|x - z| = \pi$  дает вклад в 2 раза меньший, чем окрестность  $|x - z| = 0$ . Это связано с тем, что вблизи этих точек обрезки оказались разными. Также вклады вблизи 0 и  $\pi$  оказываются разных знаков для плоскостей I и III. Это связано с наличием множителей  $e^{i(x-z)}$  и  $e^{i(x-y)}$  для плоскостей I и III соответственно.

### С.3 Вклад нулевой гармоник

Для начала найдем нулевую гармонику:

$$\Delta^{(0)}(r) = \int_0^{2\pi} \frac{d\varphi}{2\pi} \Delta(\mathbf{r}). \quad (\text{C.24})$$

Проинтегрировав по  $\varphi$  в уравнении 6.6, получаем

$$\Delta^{(0)}(r) = gA^2 e^{-2K(r)} \sum_{\kappa} \int \frac{dx dy}{(2\pi)^2} \psi_{\kappa}(x) \psi_{\kappa}^*(y) e^{-iy} e^{i(\pi+x+y)/2} J_1(2k_F r \sin[(y-x)/2]) \quad (\text{C.25})$$

Прежде чем подставлять это в (6.11), можно сперва выполнить интегрирование по углам, ведь нулевая гармоника от  $\varphi$  не зависит. Получим

$$E^{(0)}(\alpha) = A^2 \int dr r e^{-2K(r)} \Delta^{(0)}(r) \int \frac{dz dt}{2\pi} \psi_0^*(z) \psi_0(t) e^{it} e^{-i(\pi+t+z)/2} J_1(2k_F r \sin[(t-z)/2]) \quad (\text{C.26})$$

Подставляя в (6.11), получаем

$$E^{(0)}(\alpha) = gA^4 \sum_{\kappa} \int dr e^{-4K(r)} r \int \frac{dx dy dz dt}{(2\pi)^3} \psi_{\kappa}(x) \psi_{\kappa}^*(y) \psi_0^*(z) \psi_0(t) e^{i(x-y+t-z)/2} J_1\left(2k_F r \sin\left[\frac{y-x}{2}\right]\right) J_1\left(2k_F r \sin\left[\frac{t-z}{2}\right]\right). \quad (\text{C.27})$$

Если  $\sin\left[\frac{y-x}{2}\right] \gtrsim \frac{1}{k_F \xi}$  и  $\sin\left[\frac{z-t}{2}\right] \gtrsim \frac{1}{k_F \xi}$ , то можно положить  $e^{-K(r)}$  равной единице и воспользоваться соотношением [9] ( $k, q > 0$ )

$$\int_0^{+\infty} dr r J_n(qr) J_n(kr) = \frac{1}{k} \delta(k - q). \quad (\text{C.28})$$

Учитывая то, что  $J_1(x)$  - нечетная функция, обобщим соотношение для произвольных  $k$  и  $q$ :

$$\int_0^{+\infty} dr r J_n(qr) J_n(kr) = \frac{\text{sign } k \text{ sign } q}{|k|} \delta(|k| - |q|). \quad (\text{C.29})$$

Сделаем в C.27 замену  $y = x + u$ ,  $z = t + v$ . Тогда получим

$$E^{(0)}(\alpha) = gA^4 \sum_{\kappa} \int dr e^{-4K(r)r} \int \frac{dx dt du dv}{(2\pi)^3} \psi_{\kappa}(x) \psi_{\kappa}^*(x+u) \psi_0^*(t+v) \psi_0(t) e^{-i(u+v)} J_0(2k_F r \sin(u/2)) J_0(2k_F r \sin(v/2)). \quad (\text{C.30})$$

Интегрирование по  $r$  даст

$$\int dr r J_0(2k_F r \sin(u/2)) J_0(2k_F r \sin(v/2)) = \frac{\text{sign } u \text{ sign } v}{k_F^2 |\sin(u)|} [\delta(|u| - |v|) + \delta(|u| + |v| - 2\pi)] = \quad (\text{C.31})$$

$$= \frac{2 \text{sign } u \text{ sign } v}{k_F^2 |\sin(u)|} [\delta(u - v) + \delta(u + v)]. \quad (\text{C.32})$$

Найдем вклад от первой дельта-функции (т.к.  $u = v$ , то  $\text{sign } u \text{ sign } v = 1$ ).

$$E_1^{(0)}(\alpha) = 2gA^4 \sum_{\kappa} \int \frac{dx dt du}{(2\pi)^3} \psi_{\kappa}(x) \psi_{\kappa}^*(x+u) \psi_0^*(t+u) \psi_0(t) \frac{e^{-2iu}}{k_F^2 |\sin(u)|} \quad (\text{C.33})$$

Проинтегрируем по  $u$ . Обрезки равны  $1/k_F \xi$  и  $\pi - 1/k_F \xi$  (из условия замены  $e^{-K(r)}$  на 1). Тогда получаем, что интеграл набирается вблизи 0 и  $\pi$ . Получаем

$$E_1^{(0)}(\alpha) = \frac{4gA^4}{k_F^2} \ln k_F \xi \sum_{\kappa} \int \frac{dx dt}{(2\pi)^3} [\psi_{\kappa}(x) \psi_{\kappa}^*(x) \psi_0^*(t) \psi_0(t) + \psi_{\kappa}(x) \psi_{\kappa}^*(x+\pi) \psi_0^*(t+\pi) \psi_0(t)] \quad (\text{C.34})$$

Теперь найдем вклад от второй дельта-функции (т.к.  $u = -v$ , то  $\text{sign } u \text{ sign } v = -1$ ):

$$E_2^{(0)}(\alpha) = -2gA^4 \sum_{\kappa} \int \frac{dx dt du}{(2\pi)^3} \psi_{\kappa}(x) \psi_{\kappa}^*(x+u) \psi_0^*(t-u) \psi_0(t) \frac{1}{k_F^2 |\sin u|} \quad (\text{C.35})$$

Аналогично предыдущему случаю,

$$E_2^{(0)}(\alpha) = -\frac{4gA^4}{k_F^2} \sum_{\kappa} \int \frac{dx dt}{(2\pi)^3} [\psi_{\kappa}(x) \psi_{\kappa}^*(x) \psi_0^*(t) \psi_0(t) + \psi_{\kappa}(x) \psi_{\kappa}^*(x+\pi) \psi_0^*(t+\pi) \psi_0(t)] \quad (\text{C.36})$$

Получается, что  $E_2^{(0)}(\alpha) = -E_1^{(0)}(\alpha)$ .

Осталось рассмотреть случай малых аргументов бesselей, а именно вклад плоскости  $x = y$ ,  $t = z$ .

Обозначим  $y - x = u$ ,  $t - z = v$ . Рассмотрим случай  $u, v \ll 1$ . Получим, считая волновые функции медленными огибающими:

$$E_3^{(0)}(\alpha) = gA^4 \sum_{\kappa} \int dr e^{-4K(r)r} \int \frac{dx dz}{(2\pi)^3} \psi_{\kappa}(x) \psi_{\kappa}^*(x) \psi_0^*(z) \psi_0(z) I(r), \quad (\text{C.37})$$

где

$$I(r) = \int du dv e^{i(v-u)/2} J_1(2k_F r \sin(u/2)) J_1(2k_F r \sin(v/2)). \quad (\text{C.38})$$

Возьмем интегралы по  $u$  и  $v$ , считая волновые функции медленными огибающими. Учитывая, что  $J_1(x)$  - нечетная функция, то  $\int_{-\pi}^{\pi} du \cos(u/2) J_1[2k_F r \sin(u/2)] = 0$ . Далее воспользуемся тем, что

$$\int_0^{\pi} dx \sin(x/2) J_1(2k_F r \sin(x/2)) = \pi J_0(k_F r) J_1(k_F r). \quad (\text{C.39})$$

Тогда находим

$$I(r) = 4\pi^2 [J_0(k_F r) J_1(k_F r)]^2. \quad (\text{C.40})$$

Чтобы проинтегрировать по  $r$ , воспользуемся асимптотикой функций Бесселя при больших значениях аргумента. Она применима, если  $r \geq 1/k_F$ . Также,  $e^{-K(r)}$  даст верхнюю обрезку на  $r \sim \xi$ . Тогда

$$\int dr e^{-4K(r)} r I(r) \simeq \int_{1/k_F}^{\xi} \frac{4r dr}{(k_F r)^2} (1 + \cos(2k_F r)) = \frac{4}{k_F^2} \ln(k_F \xi). \quad (\text{C.41})$$

Интегрирование по  $x$  и  $z$  в (C.37) даст единицу из условия нормировки волновых функций. Итак, получаем, что

$$E_3^{(0)}(\alpha) = \frac{2gA^4}{\pi k_F^2} \ln(k_F \xi). \quad (\text{C.42})$$

Т.к.  $E_2^{(0)}(\alpha) = -E_1^{(0)}(\alpha)$ , то оказывается, что  $E^{(0)}(\alpha) = E_3^{(0)}(\alpha)$  и не зависит от  $\alpha$ . Значит, вклад нулевой гармоники в сдвиг уровня энергии  $\Delta E^{(0)} = 2 \text{Re}[E^{(0)}(\alpha) - E^{(0)}(0)]$  равен нулю.

## Список литературы

- [1] Britton L. T. Plourde «Vortex Microwave Response in High Kinetic Inductance Superconducting Thin Films», Workshop on Localization, Interactions and Superconductivity, Landau Institute, July 2, 2018.
- [2] C.Caroli, P.G. de Gennes, J.Matricon «Bound fermion states on a vortex line in a type II superconductor», Physics Letters, Volume 9, Issue 4, p. 307-309 (1964)
- [3] Скворцов М.А., диссертация на соискание ученой степени кандидата физико-математических наук. Тема: «Статистика уровней и локализация в двумерных системах с киральным электронным спектром». Черноголовка, 1998
- [4] П.Де Жен «Сверхпроводимость металлов и сплавов», М., Наука, 1968
- [5] Дж. Н. Ватсон «Теория бесселевых функций», М., Изд-во иностр. лит., 1949
- [6] Градштейн И.С., Рыжик И.М. «Таблицы интегралов, сумм, рядов и произведений», М., Физматгиз, 1963
- [7] В.В. Шмидт «Введение в физику сверхпроводников», М., МЦНМО, 2000
- [8] Yuli V. Nazarov, Yaroslav M. Blanter «Quantum Transport: Introduction to Nanoscience», Cambridge University Press, 2009
- [9] И.В. Колоколов, В.В. Лебедев «Избранные главы математической физики», 2020
- [10] И.О. Кулик, И.К. Янсон «Эффект Джозефсона в сверхпроводящих туннельных структурах», М., Наука, 1970
- [11] A. I. Larkin and Yu. N. Ovchinnikov «Resistance of layered superclean superconductors at low temperatures», Phys. Rev. B 57, 5457 (1998)
- [12] A. A. Koulakov and A. I. Larkin «Vortex density of states and absorption in clean layered superconductors», Phys. Rev. B 60, 14597 (1999)
- [13] M. A. Skvortsov, D. A. Ivanov, G. Blatter «Vortex viscosity in the moderately clean limit of layered superconductors», Phys. Rev. B 67, 014521 (2003)
- [14] M. A. Skvortsov, V. E. Kravtsov, M. V. Feigel'man, «Level statistics inside the core of a superconductive vortex», JETP Letters, 68, 78 (1998)
- [15] A. Altland, M. R. Zirnbauer «Novel symmetry classes in mesoscopic normal-superconducting hybrid structures», Phys. Rev. B 55, 1142 (1997)